

بررسی تغییرات مساحت پلوم رودخانه ارونده با استفاده از تصاویر ماهواره‌ای

سیده نسترن هاشمی^۱، محمد اکبری نسب^{۲*}، طاهر صفرراد^۳

snhashemi72@gmail.com

m.akbarinasab@umz.ac.ir

t.safarrad@umz.ac.ir

^۱ کارشناسی ارشد فیزیک دریا، دانشکده علوم دریایی و اقیانوسی دانشگاه مازندران، بابلسر

^۲ نویسنده مسئول، استادیار، گروه فیزیک دریا، دانشکده علوم دریایی و اقیانوسی دانشگاه مازندران، بابلسر

^۳ استادیار، گروه جغرافیا و برنامه‌ریزی شهری، دانشکده علوم انسانی و اجتماعی دانشگاه مازندران، بابلسر

تاریخ پذیرش: ۹۷/۰۱/۲۶

تاریخ دریافت: ۹۶/۰۹/۲۹

چکیده

امروزه نظارت صحیح بر آب‌های ساحلی اهمیت زیادی دارد، زیرا این مناطق، از نظر اکوسیستم‌های طبیعی مکان‌های مهمی هستند. بعلاوه، ارزیابی کیفیت آب در رودخانه‌ها امری حیاتی به شمار می‌آید. با توجه به اینکه روش‌های سنتی نمونه برداری گران و وقت‌گیر هستند، تکنیک سنجش از دور ابزار مؤثری برای آشکارسازی و نظارت بر پلوم به حساب می‌آید. با شناسایی پلوم رودخانه‌ها، می‌توان به برآورد و تخمین دبی پرداخت. در این مقاله با استفاده از تصاویر ماهواره‌ای لندست ۸، پلوم رودخانه ارونده در فصل‌های بهار (مه)، پاییز (اکتبر) و زمستان (مارس) سال ۲۰۱۷ آشکارسازی شده است. به منظور این آشکارسازی، الگوریتمی متشکل از تابندگی باند ۴، تابندگی باند ۲، NDWI و نسبت شوری طراحی شده است. برای صحبت سنجی الگوریتم آشکارسازی پلوم، از تصاویر ماهواره سنتیل ۲ در همان روز استفاده شده است. همچنین مساحت پلوم در این سه فصل محاسبه شده است. نتایج نشان داده است مساحت پلوم رودخانه ارونده در فصل‌های زمستان، پاییز و بهار به ترتیب ۸/۱۳۲ کیلومتر مربع، ۸۵/۹۵۲ کیلومتر مربع و ۸۰/۴۳۶ کیلومتر مربع است؛ بنابراین با استفاده از مساحت پلوم آشکارسازی شده به وسیله تصاویر ماهواره‌ای و سرعت سطحی آب می‌توان دبی رودخانه را تخمین زد.

واژه‌های کلیدی: مساحت، رودخانه ارونده، پلوم، سنجش از دور

۱. مقدمه

دسترسی محدود است. لندست ۸ به طور گستره‌ای در مدیریت ساحلی مورد استفاده قرار می‌گیرد و یک ابزار بالارزش برای نظارت بر غلظت مواد معلق با وضوح و دقت بالاست [۲]. در پدیده‌های میان مقیاسی که ساختارهای کوچک و الگوهای خاص دارند (پلوم‌ها)، ماهواره لندست ۸ با قدرت تفکیک مکانی و رادیومتریکی بی‌نظیری به شناسایی آن‌ها پرداخته است [۳].

مصبها، از لحاظ اقتصادی و زیست‌محیطی حائز اهمیت هستند. شرایط فیزیکی و شیمیایی بسیار پویا، مانند غنی بودن مواد غذی، گردایان‌های شوری، ستون‌های آب دارای اختلال

بررسی کیفیت آب‌های ساحلی از نظر زیست‌محیطی و کاربردی اهمیت ویژه‌ای دارد. مطالعه کیفیت آب در روش‌های سنتی، زمان بر و پر هزینه است و به تولید اطلاعات نقطه‌ای منجر می‌شود [۱]. کدورت^۱ یک پارامتر مهم برای تعیین کیفیت و شفافیت آب است. کدورت می‌تواند برای ماهی‌ها و دیگر موجودات آبزی با کاهش منابع خوراکی و تخریب منطقه تخم‌ریزی خطرآفرین باشد. تکنیک سنجش از دور ابزار مفیدی برای تهیه نقشه کدورت و تعیین غلظت رسوب‌های معلق در آب‌های ساحلی است. روش‌های سنجش از دور مزایای قابل اعتمادی برای درک، مشاهده تغییرات فضایی و زمانی دارد، به ویژه در مناطق بزرگی که

در هر موقعیت ارائه شد. نتایج نشان داد که تخلیه رودخانه، عامل اصلی پلوم رودخانه ایران است، همچنین تابع باد به عنوان دومین محرك (تحت تخلیه بالای رودخانه عمل می‌کند) و جريان اقیانوسی منطقه‌ای به عنوان محرك سوم است.

سال‌های اس و همکاران در سال ۲۰۱۲، در تحقیقی به بررسی تغییرات فصلی کدری پلوم رودخانه مرکزی شیلی، با استفاده از تصاویر سنجنده مودیس پرداختند [۱۲]. در این تحقیق از تصاویر روزانه کدورت با وضوح بالا استفاده شد. پس از انجام تصحیح‌های اتمسفری، یک تغییرپذیری فصلی قوی در سطح آب پلوم دیده شد، به علاوه مشخص شد که کدورت با تخلیه فصلی رودخانه ارتباط دارد. نتایج نشان داد در فصل پاییز و زمستان تک‌تک پلوم‌ها در پهنه کدر بزرگی، به ساحل متصل می‌شوند و در فصل بهار و تابستان به‌طور واضح، منطقه کوچکی در نزدیکی ساحل را اشغال می‌کند، همچنین در فصل بهار و تابستان، اغلب پلوم‌ها در شمال رودخانه دیده شده‌اند.

مریدنژاد و همکاران در سال ۱۳۸۷، در مطالعه‌ای به تخمین درصد رسوبات در دهانه رودخانه بهمن‌شهر و تعیین رابطه‌ای برای تخمین غلظت رسوبات معلق، با استفاده از تصاویر سنجنده استر^۵ پرداختند [۱۳].

۲. روش کار

۲-۱. منطقه مورد مطالعه

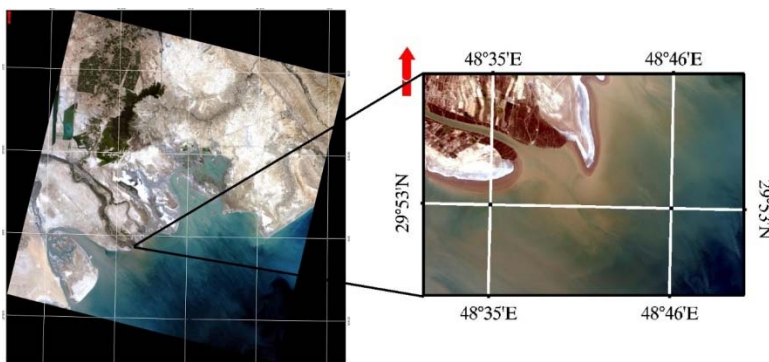
رودخانه اروندرود یا ارونده (شط‌العرب) رودخانه پهناوری است در جنوب غربی ایران و در مرز ایران و عراق که از همیزش رودهای دجله، فرات و کارون پدید آمده است. دجله و فرات پیش از پیوستن به کارون در شهر قرنه در ۳۷۵ کیلومتری جنوب بغداد به هم متصل می‌شوند. جريان آب رودخانه ارونده از دو رودخانه دجله و فرات در خاک عراق سرچشم می‌گرفته و رودخانه کارون نیز به درون آن می‌ریزد [۱۴]. در شکل (۱)، تصویر رنگی واقعی از منطقه مورد مطالعه بر اساس تصویر لندست ۸ در اکتبر ۲۰۱۷ نشان داده شده است.

خوب و ... این مناطق را به بخش‌هایی با بهره‌وری بالا تبدیل کرده است [۴].

دانش و آگاهی از پلوم رودخانه‌های کدر از اهمیت زیادی برخوردار است، زیرا ویژگی‌های آب دریا که در مجاورت رودخانه قرار دارند را تعیین می‌کند [۵]. فرایندهای پلوم رودخانه‌ای، تحت تأثیر مجموعه‌ای از عوامل پیچیده است که به‌طور کامل در ک نمی‌شود [۶]. اغلب خروجی‌های آب شیرین، به ایجاد پلوم‌های شناور منجر می‌شود [۷]. پلوم‌های رودخانه‌ای می‌توانند دما و شوری آب‌های مجاور را تحت تأثیر قرار دهند [۸]. پلوم‌های رودخانه‌ای شناور، از دهانه رودخانه‌ها نشست گرفته و در اقیانوس‌ها گسترش می‌یابند. این پلوم‌ها بر کیفیت آب، پراکندگی رسوبات، بهره‌وری اولیه و گردش در امتداد سواحل تأثیر دارند [۹].

کنستانین و همکاران در سال ۲۰۱۶، در تحقیقی به بررسی تخمین کدورت آب، آنالیز فضایی-زمانی و تغییرات آن در پلوم رودخانه دانوب با استفاده از داده‌های سنجنده مودیس پرداختند [۱۰]. در این تحقیق از باند قرمز مودیس با تفکیک‌پذیری ۲۵۰ متر در مناطق ساحلی دلتای رودخانه دانوب استفاده شد، به‌طور کلی تنها باندهای قرمز مرئی و مادون قرمز نزدیک برای مطالعه آب با کدورت بالا مناسب است. نتایج نشان‌دهنده همبستگی قوی بین تخلیه دانوب و کدورت آب در منطقه ساحلی است، اگرچه پارامترهای محیطی مانند تنفس باد بر جهت‌گیری و اندازه پلوم رودخانه نقش بسزایی دارد.

فرناندز نووا و همکاران در سال ۲۰۱۵، در پژوهشی به بررسی اثرات تخلیه رودخانه و باد روی پلوم رودخانه ایران، با استفاده از تصاویر سنجنده مودیس پرداختند [۱۱]. تأثیر عوامل اصلی بر پلوم و کدورت آب رودخانه ایران، با استفاده از داده‌های سنجنده مودیس-که روی ماهواره‌های آکوا^۳ و ترا^۴ قرار دارد-از سال ۲۰۰۳ تا ۲۰۱۱ مورد تجزیه و تحلیل قرار گرفت. تصاویر ترکیبی برای روزهایی که شرایط تخلیه رودخانه ویژه است (رژیم‌های مختلف جريان) و انواع مختلف باد (بادهای در امتداد ساحل و عمود بر ساحل) وجود دارد، به دست آورده شد. سپس یک الگو از مشخصات پلوم



شکل ۱. تصویر رنگی واقعی از منطقه مورد مطالعه بر اساس تصویر لندست ۸ (اکتبر ۲۰۱۷)

(دارای رسوبات معلق زیاد) است که در دهانه رودخانه‌ها شکل می‌گیرد [۲۰]. پلوم به صورت آب کم شور شناخته می‌شود [۲۱]. بر اساس همین ویژگی‌ها، الگوریتمی طراحی شده که روی تصاویر مربوط به هر فصل پیاده‌سازی شده است. الگوریتم طراحی شده متشکل از تابندگی^{۱۳} باند ۴ و باند ۲، NDWI^{۱۴} (شاخص نرمال شده تفاضلی آب) و نسبت شوری^{۱۵} است. (رسوبات معلق، سبب افزایش تابندگی در محدوده مرئی^{۱۶} و مادون قرمز نزدیک^{۱۷} می‌شوند [۲۲]). دلیل موقوفیت سنجش از دور، وجود رابطه مثبت قوی بین رسوبات معلق و تابندگی است [۲۳].

چون پلوم با غلط زیاد مواد معلق تعریف شده است، به همین سبب تابندگی بیشتری نسبت به آب‌های اطرافش دارد (پلوم در دهانه رودخانه‌ها گسترش پیدا می‌کند [۲۴]). به همین خاطر تابندگی باند ۴ و تابندگی باند ۲ در نظر گرفته شدند. یکی دیگر از شاخص‌ها، NDWI است که دامنه تغییرات آن بین یک تا منفی یک است. مقادیر مثبت آب و مقادیر منفی غیر آب باند [۲۵-۲۷]، چون پلوم مواد معلق زیادی دارد؛ مقدار این شاخص (NDWI) برای پلوم نسبت به دریا کمتر است. آخرین شاخصی که برای طراحی الگوریتم مورد استفاده قرار گرفته است، شاخص نسبت شوری است [۲۸]، چون پلوم رودخانه‌ای به صورت آب کم شور شناخته می‌شود، در نتیجه شوری پلوم از آب‌های اطرافش کمتر است.

برای طراحی الگوریتم گفته شده، به ترتیب از روابط (۱) تا (۴) استفاده شده است. (۱) نحوه به دست آوردن تابندگی را بیان

۲-۲. داده‌های مورد استفاده

الف- تصاویر ماهواره لندست ۸

در این مطالعه از تصاویر ماهواره لندست ۸ در اکتبر، مارس^۶ و مه^۷ سال ۲۰۱۷ استفاده شده است (ماهواره لندست ۸ در ۱۱ فوریه سال ۲۰۱۳ پرتاب شده است. این ماهواره قدرت تفکیک مکانی^۸ ۳۰ متر و قدرت تفکیک زمانی^۹ ۱۶ روزه را دارد [۱۵]). تصاویر به دست آمده، دارای مسیر^{۱۰} ۱۶۵ و ردیف^{۱۱} ۳۹ بوده است. لازم به یادآوری است از سایت سازمان زمین‌شناسی آمریکا^{۱۲} برای به دست آوردن تصاویر استفاده شده است.

ب- تصاویر ماهواره ستینیل ۲

برای ارزیابی و صحت‌سنجی الگوریتم آشکارسازی پلوم، از تصاویر ماهواره ستینیل ۲ (در باندهای آبی، سبز، قرمز و مادون قرمز نزدیک دارای قدرت تفکیک مکانی ده متر است) در همان روز، استفاده شده است [۱۶-۱۷]. ستینیل ۲، شامل دو ماهواره تصویربرداری به نام‌های ستینیل ۲A و ۲B است. ستینیل ۲A در سال ۲۰۱۵، از فرانسه پرتاب شد و در حال تصویربرداری از زمین است و ستینیل ۲B در سال ۲۰۱۶ از روسیه پرتاب شد. این تصاویر دارای توان تفکیک مکانی متغیر ۱۰ تا ۶۰ متر و شامل ۱۳ باند در محدوده طیفی مرئی، مادون قرمز نزدیک و مادون قرمز موج کوتاه هستند [۱۸].

۳. نتیجه

پلوم‌ها، پیچک‌ها و جبهه‌ها از نشانه‌های مهم فعالیت‌های میان مقیاس در سطح دریا هستند [۱۹]. پلوم، جریانی گل‌آلود

رقومی شده است. Esun میزان تابش خورشید، θ زاویه اوج خورشیدی^{۲۳} بر حسب درجه، d فاصله زمین تا خورشید و π نیز $3/14159$ می باشد [۱۵، ۳۰، ۲۹]. با استفاده از پلیوم شناسایی شده در این مطالعه و سرعت جريان آب رودخانه ارونند، می توان دبی اين رودخانه را براورد نمود.

۴. یافته های پژوهش

شکل ۲ تابندگی باند ۴، شکل ۳ تابندگی باند ۲، شکل ۴ NDWI و شکل ۵ نسبت شوری را برای پاییز (اکتبر) ۲۰۱۷ نشان می دهد. بر اساس ویژگی هایی که برای پلوم تعريف شده است؛ پلوم تابندگی بیشتری نسبت به آب دریا دارد؛ زیرا در دهانه غلط رسوبات معلق بیشتر است، به همین خاطر پلوم ارونند در مقایسه با آب دریا، از تابندگی بیشتری برخوردار است. در شکل های ۲ و ۳ نحوه تغییرات تابندگی برای باندهای ۴ و ۲ نشان داده شده است. شاخص NDWI برای پلوم، نسبت به آب های اطراف کمتر است (شکل ۴). آخرین شکل مربوط به شاخص نسبت شوری است. پلوم، به صورت آب کم شور تعريف می شود. پروفایل ترسیم شده نشان می دهد، پلومی که در دهانه تشکیل شده است، مقدار نسبت شوری کمتری داشته است (شکل ۵). در شکل ۶، پلوم ارونند در پاییز (اکتبر) ۲۰۱۷ نشان داده شده است.

کرده است. (۲)، مربوط به محاسبه بازتابندگی^{۱۸} است. (۳) و (۴)، روش به دست آوردن NDWI و نسبت شوری را نشان می دهد. همچنین، در الگوریتم به غیر از ۴ شاخص مطرح شده، از نقشه های پراکندگی^{۱۹} و درخت تصمیم گیری نیز استفاده شده است. به این ترتیب که آستانه های مناسب هر شاخص از طریق نقشه های پراکندگی به دست آمده است و درنهایت آستانه ها در درخت تصمیم گیری اعمال شده است (لازم به یادآوری است در این تحقیق، از نرم افزار انوی ۵ و ArcMap ۱۰/۵ استفاده شده است).

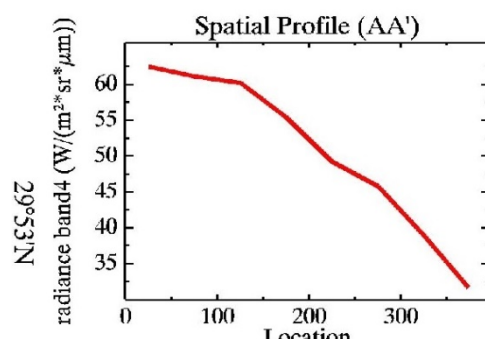
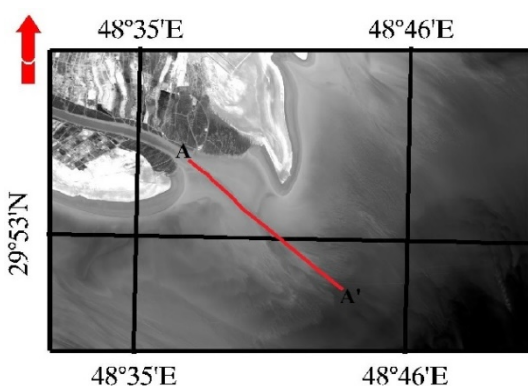
$$L(\lambda) = M(L) \times Q(cal) + A(L) \quad (1)$$

$$\rho(\lambda) = \frac{\pi \times L(\lambda) \times d^2}{Esun \times \cos \theta} \quad (2)$$

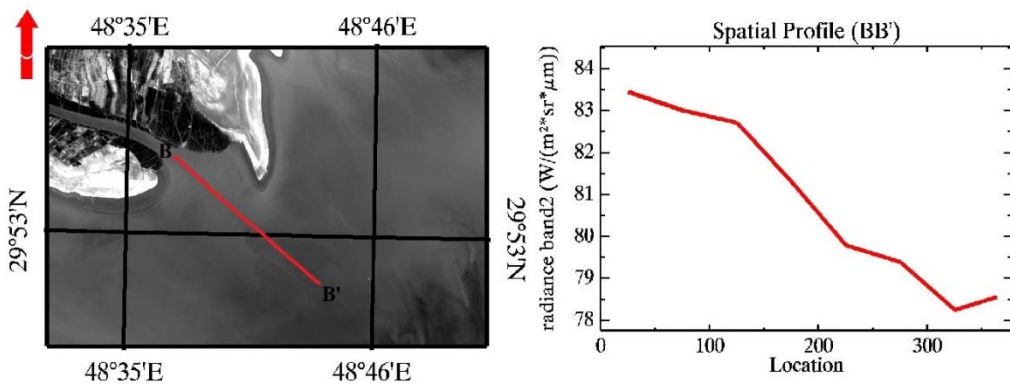
$$NDWI = \frac{\rho(Green) - \rho(NIR)}{\rho(Green) + \rho(NIR)} \quad (3)$$

$$\text{Salinity Ratio} = \frac{\rho(Re d) - \rho(NIR)}{\rho(Green) + \rho(NIR)} \quad (4)$$

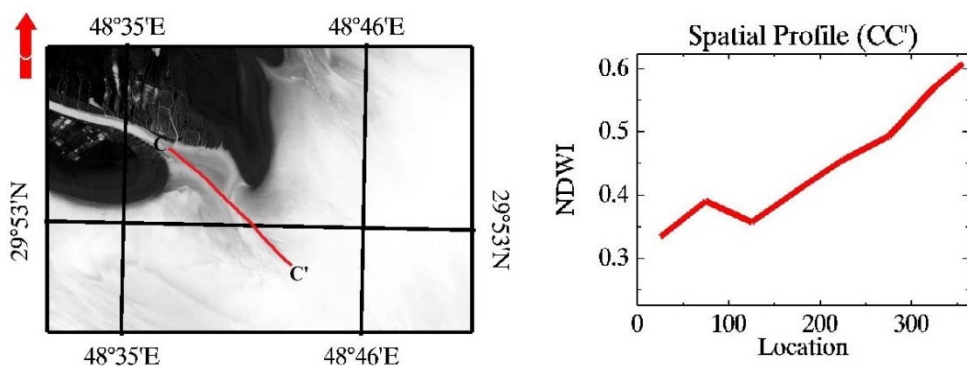
برای تبدیل مستقیم تابندگی به بازتابندگی از رابطه (۲) استفاده می شود. در این روابط λ معرف بازتابندگی (بی بعد)، L_λ تابندگی در بالای اتمسفر در سنجنده، d بحسب واحد بر متر مربع در استردادیان در میکرومتر، M_L فاکتور تبدیل ضریبی که در فایل هدر تصاویر لندست ۸ به نام RADIANCE_MULT_BAND قرار دارد، A_L ضریب تجمعی است که در فایل هدر به نام RADIANCE_ADD_BAND است. Q_{cal} ارزش پیکسل



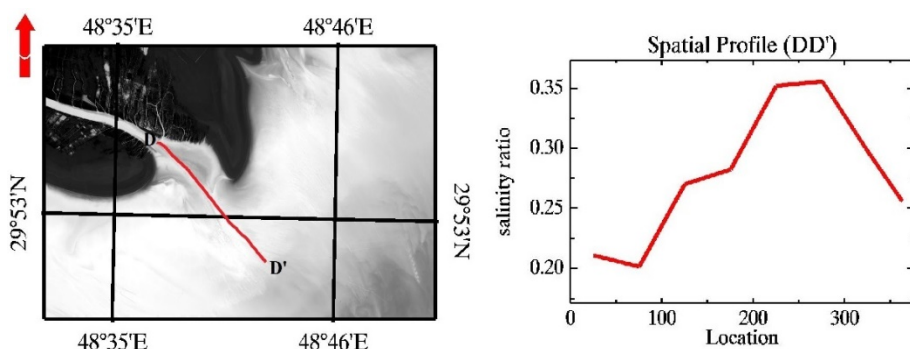
شکل ۲. تابندگی باند ۴ - اکتبر ۲۰۱۷ (لندست ۸)



شکل ۳. تابندگی باند ۲ - اکتبر ۲۰۱۷ (لنست ۸)

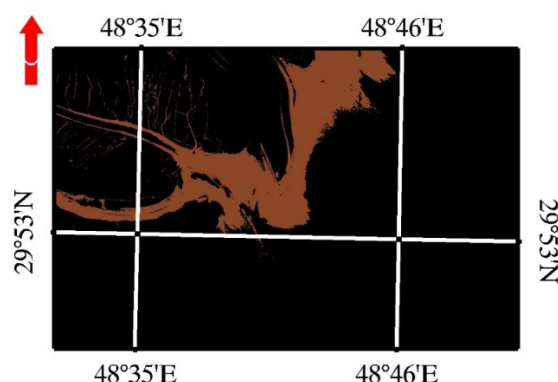


شکل ۴. NDWI - اکتبر ۲۰۱۷ (لنست ۸)

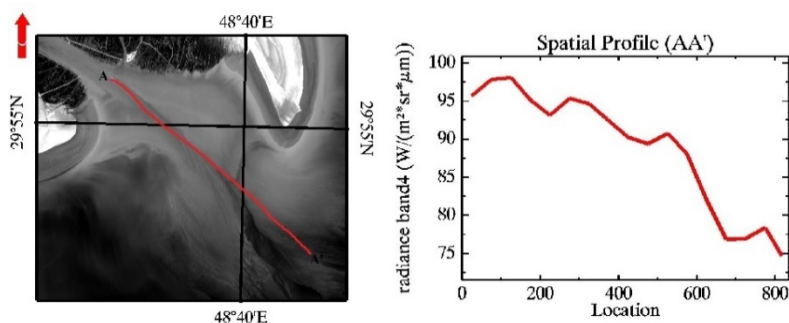


شکل ۵. نسبت شوری - اکتبر ۲۰۱۷ (لنست ۸)

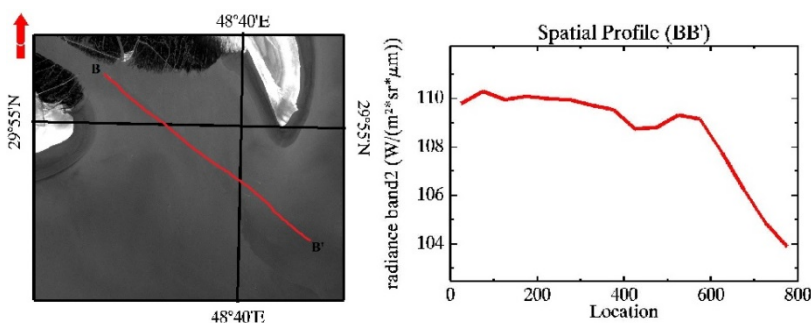
برای صحبت‌سنگی آشکارسازی انجامشده، از تصاویر ماهواره ستینیل ۲ در همان روز استفاده شده است. تصاویر ۷ و ۸ به ترتیب نحوه تغییرات تابندگی باند ۴ و ۲ را نشان داده است. همان‌طور که دیده می‌شود، پلوم با دور شدن از دهانه اروند مقدار تابندگی بیشتری پیدا کرده است. به‌طور مشابه برای تابندگی باند ۲ نیز صادق است. شکل ۹، تغییرات شاخص NDWI را نشان داده است. در این شکل پلوم ارونده NDWI کمتری نسبت به دریا داشته است. شکل ۱۰، نتیجه اعمال شاخص شوری را نشان داده است.



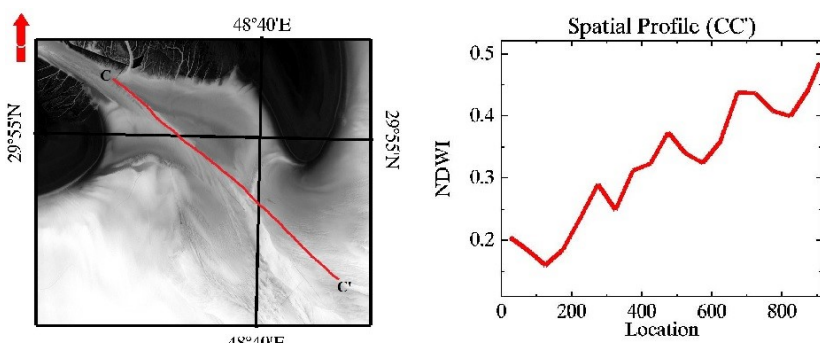
شکل ۶. پلوم رودخانه اروند بر اساس تصویر لندست ۸ (اکتبر ۲۰۱۷)



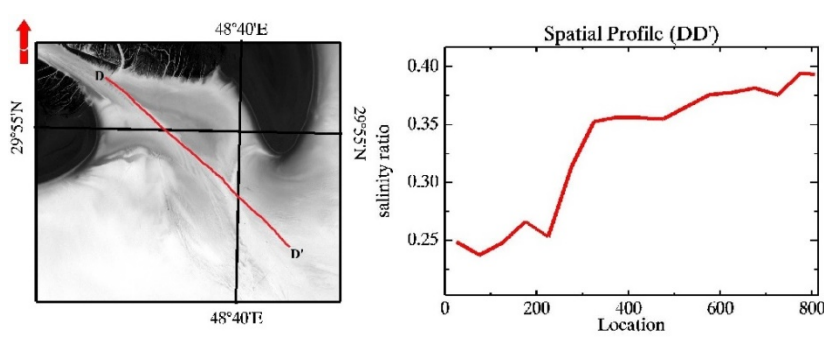
شکل ۷. تابندگی باند ۴ - ۱-اکتبر ۲۰۱۷ (ستینل ۲)



شکل ۸ تابندگی باند ۲ - ۱-اکتبر ۲۰۱۷ (ستینل ۲)



شکل ۹. NDWI - ۱-اکتبر ۲۰۱۷ (ستینل ۲)



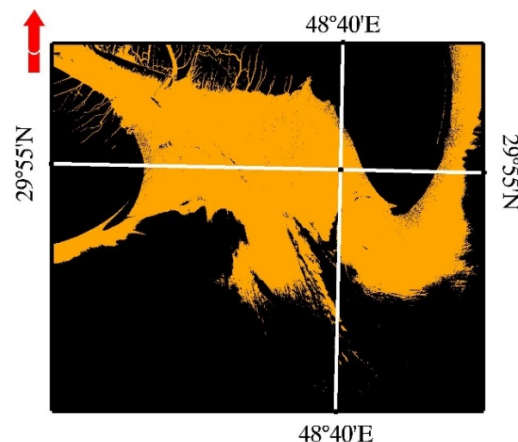
شکل ۱۰. نسبت شوری - ۱-اکتبر ۲۰۱۷ (ستینل ۲)

شده است (به صورت مراحل طی شده برای فصل پاییز). بر اساس تئوری‌هایی که در بالا مطرح شد، پلوم تابندگی بیشتری دارد. (در شکل‌های ۱۲ و ۱۳، نحوه تغییرات تابندگی باند ۴ و تابندگی باند ۲ نشان داده شده است).

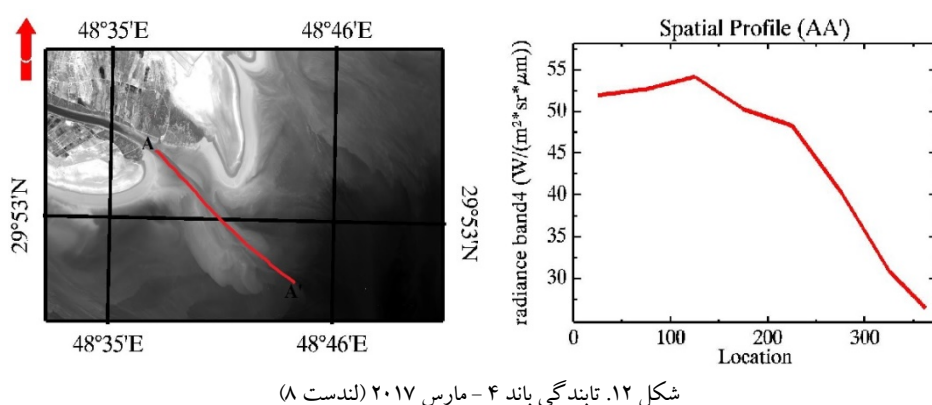
در این شکل پلوم دارای شوری کمتری نسبت به دریاست. درنهایت شکل ۱۱، پلوم ارونند بهوسیله تصویر سنتینل ۲ را نشان داده است.

در ادامه، پلوم رودخانه ارونند در فصل زمستان (مارس ۲۰۱۷) با استفاده از تصاویر ماهواره لندست ۸ آشکارسازی

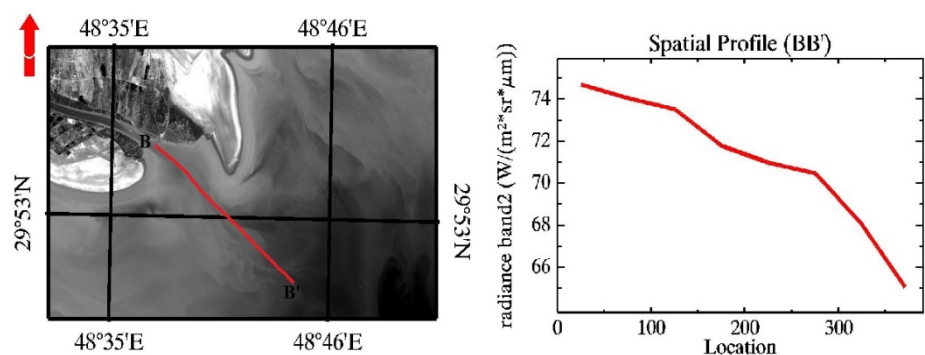
مقدار شاخص NDWI، برای پلوم نسبت به آب‌های اطراف آن کمتر است. شکل ۱۴ نشان می‌دهد که مقدار این شاخص (NDWI) برای پلوم کمتر است. شکل ۱۵، شاخص نسبت شوری را نشان داده است. پلوم شوری کمتری نسبت به آب‌های اطراف آن دارد. در شکل ۱۶، پلوم رودخانه ارونده در فصل زمستان (مارس ۲۰۱۷) نشان داده شده است.



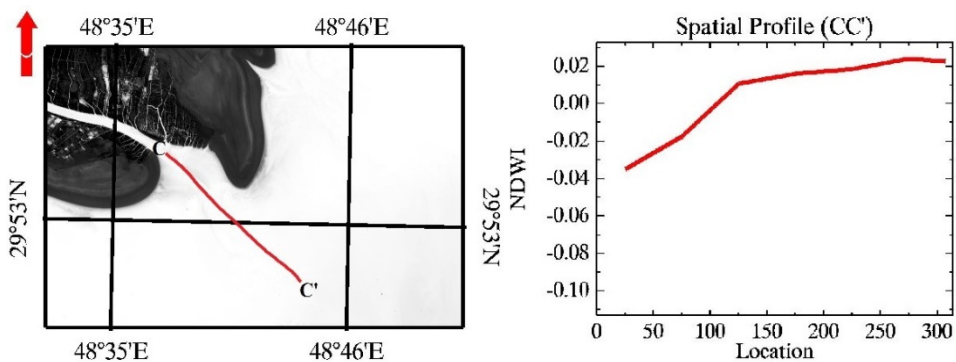
شکل ۱۱. پلوم رودخانه ارونده بر اساس تصویر سنتیل ۲ (اکتبر ۲۰۱۷)



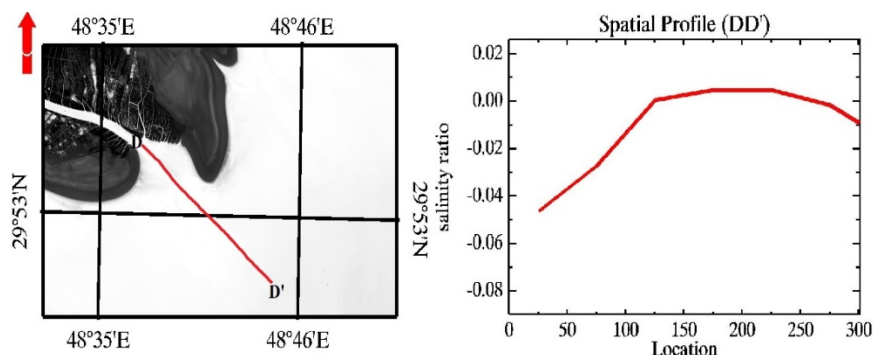
شکل ۱۲. تابندگی باند ۴ - مارس ۲۰۱۷ (لندست ۸)



شکل ۱۳. تابندگی باند ۲ - مارس ۲۰۱۷ (لندست ۸)



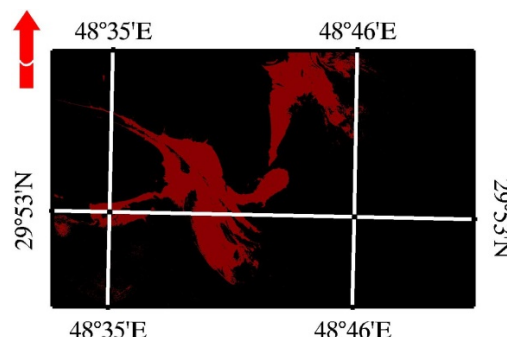
شکل ۱۴. NDWI - مارس ۲۰۱۷ (لندست ۸)



شکل ۱۵. نسبت شوری - مارس ۲۰۱۷ (لندست ۸)

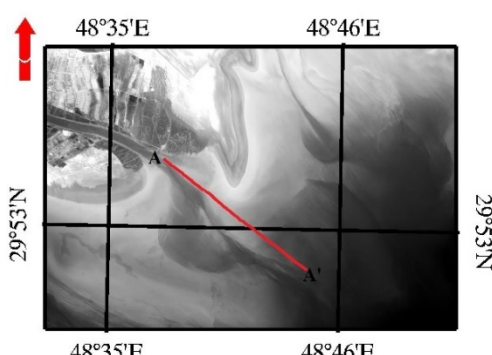
شکل های ۱۷ و ۱۸ نشان داده شده است که مقدار تابندگی پلوم نسبت به آب دریا بیشتر است. شاخص NDWI و نسبت شوری، هر دو برای پلوم نسبت به آب دریا کمترند. شکل های ۱۹ و ۲۰، به ترتیب روند تغییرات هر کدام از این شاخص ها را نشان داده است. (همانند دو فصل پاییز و زمستان، تعاریف پلوم برای فصل بهار نیز صادقند). شکل ۲۱، پلوم ارونند در فصل بهار (ماه ۲۰۱۷) را نشان داده است.

در نهایت به منظور تعیین مساحت پلوم در هر فصل، از نرم افزار ArcMap ۱۰/۵ استفاده شده است. جدول ۱، مساحت پلوم در هر فصل را نشان داده است.

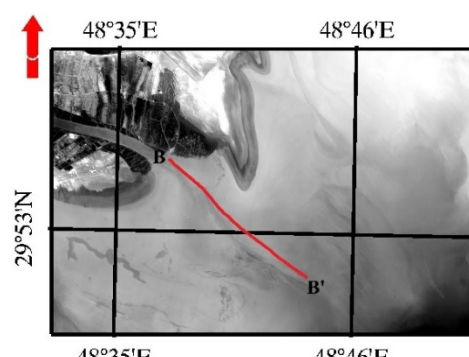


شکل ۱۶. پلوم رودخانه ارونند بر اساس تصویر لندست ۸ (ماه ۲۰۱۷)

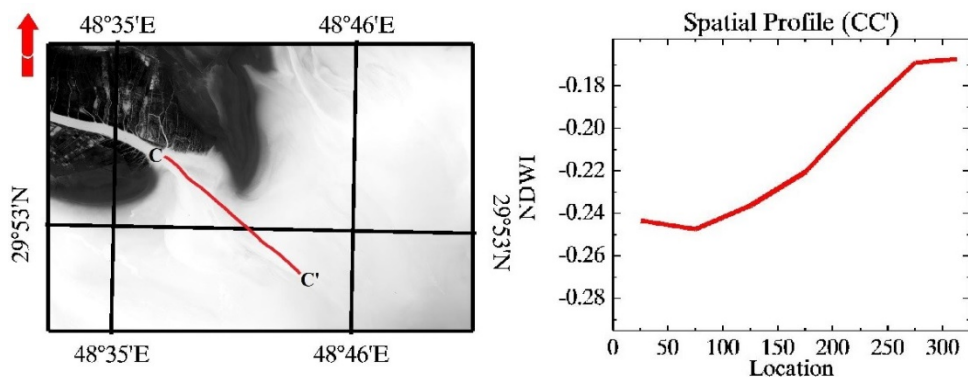
و در نهایت پلوم رودخانه ارونند در فصل بهار (ماه ۲۰۱۷) بر اساس تصویر لندست ۸ نیز بدست آمده است. همانند فصل های زمستان و پاییز، پلوم فصل بهار تابندگی بیشتری نسبت به آب های اطراف آن دارد (باند ۴ و ۲). در



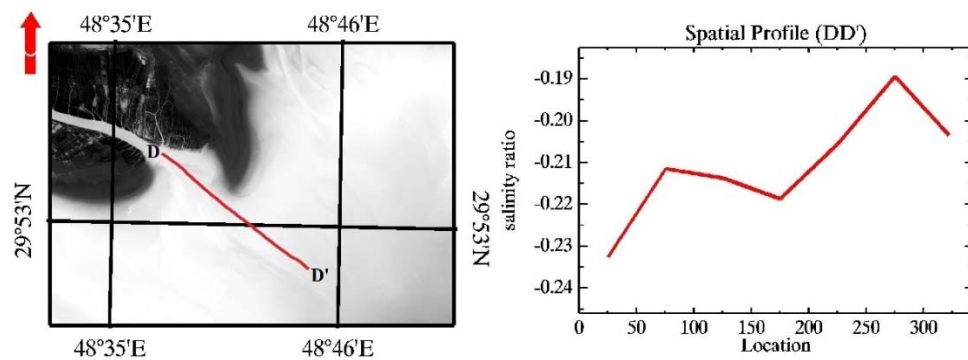
شکل ۱۷. تابندگی باند ۴ - مه ۲۰۱۷ (لندست ۸)



شکل ۱۸. تابندگی باند ۲ - مه ۲۰۱۷ (لندست ۸)

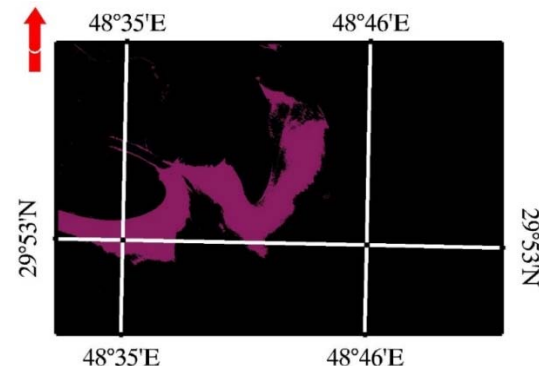


شکل ۱۹. نسبت NDWI - مه ۲۰۱۷ (لنست ۸)



شکل ۲۰. نسبت شوری - مه ۲۰۱۷ (لنست ۸)

تغییرات پلوم رودخانه ارونده (از نظر مساحت) در فصل‌های مختلف سال ۲۰۱۷ می‌باشد تا از این راه بتوان روشی برای تخمین دبی رودخانه ارونده پیشنهاد داد. به این منظور ابتدا، با استفاده از تصاویر ماهواره لنست ۸، پلوم رودخانه ارونده در سه فصل بهار، پاییز و زمستان سال ۲۰۱۷ آشکارسازی شد و چگونگی پراکنده‌گی زبانه‌های پلوم در هر فصل نشان داده شد. بعلاوه، نتایج نشان داد پلوم در فصل زمستان مساحت بیشتری نسبت به فصل‌های پاییز و بهار دارد. (لازم به یادآوری است که فصل‌های اصلی بارندگی در این منطقه، پاییز و زمستان است [۳۱]). از نتایج این تحقیق می‌توان برای تخمین و برآورد حجم دبی رودخانه ارونده استفاده کرد (تعیین دبی به صورت میدانی به زمان و هزینه زیادی نیاز دارد).



شکل ۲۱. پلوم رودخانه ارونده براساس تصویر لنست ۸ (مه ۲۰۱۷)

جدول ۱. مقادیر به دست آمده برای مساحت پلوم

(در فصل‌های مختلف سال ۲۰۱۷)

مساحت پلوم (بهار ۲۰۱۷)	مساحت پلوم (پاییز ۲۰۱۷)	مساحت پلوم (زمستان ۲۰۱۷)	مساحت پلوم (LNST ۸)
۸۰ / ۴۳۶	۸۵ / ۹۵۲	۸۸ / ۱۳۲	ماهواره لنست ۸ (مساحت بر حسب کیلومترمربع)

۵. نتیجه‌گیری

با توجه به اهمیت رودخانه ارونده، تخمین حجم دبی آن می‌تواند موضوع مهمی باشد. هدف از این مطالعه، بررسی

موارد

- [۱] عقیقی حسین، علیمحمدی عباس، سراجیان محمدرضا، عاشورلو داود. برآورد مقدار کدورت آب خلیج

- [12] Saldías GS, Sobarzo M, Largier J, Moffat C, Letelier R. Seasonal variability of turbid river plumes off central Chile based on high-resolution MODIS imagery. *Remote sensing of environment*. 2012 Aug 31;123:220-33.
- [۱۳] مرید نژاد علی. تعیین درصد مواد مختلف معلق در آب‌های سطحی با به کارگیری تکنیک جداسازی در تصاویر ASTER [پایان‌نامه]. تهران: دانشگاه تربیت مدرس - دانشکده مهندسی کشاورزی؛ ۱۳۸۷.
- [۱۴] امانی دهنوعلیا محمد، خسروی بابادی محسن. بررسی تغییرات خط ساحلی رودخانه ارونده با استفاده از تکنیک سنجش از دور. ارائه شده در: سومین کنفرانس سالانه پژوهش‌های معماری، شهرسازی و مدیریت شهری؛ ۱۳۹۶ اردیبهشت ۲۱؛ ایران، شیراز.
- [۱۵] فرزین محسن، نظری سامانی علی‌اکبر، فیض‌نیا سادات، کاظمی غلام عباس. تعیین نواحی احتمالی تخلیه آب زیرزمینی زیردریایی به سواحل خلیج فارس در استان بوشهر با استفاده از نقشه ناهنجاری دمایی استاندارد. *مجله اکو‌هیدرولوژی*. ۴۸۸-۴۷۷؛(۴؛۱۳۹۶).
- [۱۶] امامی حسن، مجردی برات، صفری عبدالرضا. ارائه روشی برای ارزیابی دقیق و اعتبارسنجی دمای سطح زمین حاصل از داده‌های سنجش از دور: مطالعه موردی استان فارس. *نشریه علوم و فنون نقشه‌برداری*. ۱۷-۱؛(۶؛۱۳۹۵).
- [۱۷] هاشمی سیده نسترن، اکبری نسب محمد، صفرزاد طاهر. آشکارسازی پلوم رودخانه ارونده از طریق تصاویر ماهواره‌ای. *نشریه هیدرولوژی و مورفولوژی*. ۱۶۴-۱۴۷؛(۴؛۱۳۹۶).
- [۱۸] عزت‌آبادی پور حمید. معرفی تصاویر ماهواره ستیل ۲. ارائه شده در: سومین کنفرانس بین‌المللی نوآوری‌های اخیر در مهندسی عمران، معماری و شهرسازی؛ ۱۳۹۵ شهریور ۱۸؛ تهران، ایران.
- [۱۹] Demarcq H, Dagorne D. Biological Response Associated With a Coastal Upwelling Event. *Handbook of Satellite Remote Sensing Image Interpretation: Applications for Marine Living Resources Conservation and Management*.
- گرگان با استفاده از تصاویر LISS-III ماهواره IRS. فصلنامه برنامه‌ریزی و آمیش فضا. ۱۳۸۸؛۵۵:۷۲-۷۲.
- [2] Quang NH, Sasaki J, Higa H, Huan NH. Spatiotemporal Variation of Turbidity Based on Landsat 8 OLI in Cam Ranh Bay and Thuy Trieu Lagoon, Vietnam. *Water*. 2017 Aug 8;9(8):570.
- [3] Braga F, Zaggia L, Bellafiore D, Bresciani M, Giardino C, Lorenzetti G, Maicu F, Manzo C, Riminucci F, Ravaioli M, Brando VE. Mapping turbidity patterns in the Po river prodelta using multi-temporal Landsat 8 imagery. *Estuarine, Coastal and Shelf Science*. 2017 Nov 5;198:555-67.
- [4] Joshi ID, D'Sa EJ, Osburn CL, Bianchi TS. Turbidity in Apalachicola Bay, Florida from Landsat 5 TM and Field Data: Seasonal Patterns and Response to Extreme Events. *Remote Sensing*. 2017 Apr 13;9(4):367.
- [5] Costoya X, Fernández-Nóvoa D, Gómez-Gesteira M. Loire and Gironde turbid plumes: Characterization and influence on thermohaline properties. *Journal of Sea Research*. 2017 Dec 1;130:7-16.
- [6] Dagg M, Benner R, Lohrenz S, Lawrence D. Transformation of dissolved and particulate materials on continental shelves influenced by large rivers: plume processes. *Continental shelf research*. 2004 May 1; 24(7-8):833-58.
- [7] Geyer WR, Hill PS, Kineke GC. The transport, transformation and dispersal of sediment by buoyant coastal flows. *Continental Shelf Research*. 2004 May 1; 24(7-8):927-49.
- [8] Petus C, Marieu V, Novoa S, Chust G, Bruneau N, Froidefond JM. Monitoring spatio-temporal variability of the Adour River turbid plume (Bay of Biscay, France) with MODIS 250-m imagery. *Continental Shelf Research*. 2014 Feb 15; 74:35-49.
- [9] Warrick JA, Farnsworth KL. Coastal river plumes: collisions and coalescence. *Progress in Oceanography*. 2017 Feb 28;151:245-60.
- [10] Constantin S, Doxaran D, Constantinescu S. Estimation of water turbidity and analysis of its spatio-temporal variability in the Danube River plume (Black Sea) using MODIS satellite data. *Continental Shelf Research*. 2016 Jan 1;112:14-30.
- [11] Fernández-Nóvoa D, Mendes R, Dias JM, Sánchez-Arcilla A, Gómez-Gesteira M. Analysis of the influence of river discharge and wind on the Ebro turbid plume using MODIS-Aqua and MODIS-Terra data. *Journal of Marine Systems*. 2015 Feb 28;142:40-6.

محاسبه شاخص‌های گیاهی از تصاویر ماهواره‌ای
مجله سنجش از دور و GIS ایران.
LANDSAT۸

. ۱۳۹۵:۸(۳):۹۱-۱۰۴

- [30] Chander G, Markham BL, Helder DL. Summary of current radiometric calibration coefficients for Landsat MSS, TM, ETM+, and EO-1 ALI sensors. *Remote sensing of environment*. 2009 May 15;113(5):893-903.

[۳۱] رضیئی طیب، عزیزی قاسم. بررسی توزیع مکانی
بارندگی فصلی و سالانه در غرب ایران. مجله
پژوهش‌های جغرافیای طبیعی. ۱۳۸۷؛ ۶۵:۹۳-۱۰۸.

پی‌نوشت

1. turbidity
2. Ebro
3. Aqua
4. Terra
5. Aster
6. March
7. May
8. spatial resolution
9. temporal resolution
10. path
11. row
12. <http://earthexplorer.usgs.gov>
13. radiance
14. Normalized Difference Water Index(NDWI)
15. salinity ratio
16. visible
17. near infrared
18. reflectance
19. scatter plots
20. unitless
21. Radiance Mult Band
22. Radiance Add Band
23. solar zenith angle

Dartmouth, Canada: EU PRESPO Project and IOCCG; 2011:217-8.

- [20] Mulder T, Syvitski JP. Turbidity currents generated at river mouths during exceptional discharges to the world oceans. *The Journal of Geology*. 1995 May 1;103(3):285-99.

- [21] Orton PM, Jay DA. Observations at the tidal plume front of a high volume river outflow. *Geophysical Research Letters*. 2005 Jun 1;32(11).

- [22] Ritchie JC, Schiebe FR. Water quality. *Remote Sensing in Hydrology and Water Management*. Berlin, Heidelberg :Springer; 2000. p. 287-303.

- [23] Mobasher MR, Mousavi H. Remote sensing of suspended sediments in surface waters using MODIS images. Paper presented at: XXth ISPRS Congress, Geo-Imagery Bridging Continent. 2004 Jul 12-23; Istanbul.

- [24] Roa-Pascual L, Demarcq H, Nieblas AE. Detection of mesoscale thermal fronts from 4 km data using smoothing techniques: Gradient-based fronts classification and basin scale application. *Remote Sensing of Environment*. 2015 Jul 1;164:225-37.

- [۲۵] قادری کمال، سلیمانی نور عنایت، جوادی محمد رضا، غلامی شعبانعلی. پایش تغییرات سطح آب در یاچه ارومیه با استفاده از تصاویر سنجنده MODIS و شاخص NDWI از سال ۱۳۸۱ تا ۱۳۹۲. ارائه شده در: پنجمین کنفرانس مدیریت منابع آب ایران؛ ۱۳۹۲ بهمن و ۳۰ دی ۱۳۹۴ و تهران، ایران.

- [۲۶] گمشادزادی محمدحسین، رحیم زادگان مجید. تعیین سطح پهنه‌های آبی با به کار گیری تصاویر ماهواره‌ای و اعمال شاخص‌های طیفی. ارائه شده در: دومین همایش ملی راهکارهای پیش روی بحران آب در ایران و خاورمیانه؛ ۲ دی ۱۳۹۴؛ شیراز، ایران.

- [27] Rokni K, Ahmad A, Selamat A, Hazini S. Water feature extraction and change detection using multitemporal Landsat imagery. *Remote Sensing*. 2014 May 5; 6(5):4173-89.

- [28] Dehni A, Lounis M. Remote sensing techniques for salt affected soil mapping: application to the Oran region of Algeria. *Procedia Engineering*. 2012 Jan 1; 33:188-98.

- [۲۹] فاطمی سید باقر، صدقی فاطمه. بررسی مقایسه‌ای اثر استفاده از مقادیر پیکسل، بازتابش و بازتابندگی در